

Università degli studi di Bergamo

Scuola di Ingegneria (Dolmine)

CCS Ingegneria Edile

L-23 Ingegneria delle Tecnologie per l'Edilizia

Scienza delle Costruzioni

(ICAR/08 - SdC ; 9 CFU)

A.A. 2020/2021

prof. Egidio RIZZI

egidio.rizzi@unibg.it

LEZIONE 14

Relazioni finali:

$$\left\{ \begin{array}{l} \sigma(2\alpha) = \frac{\sigma_{xx} + \sigma_{yy}}{2} + \frac{\sigma_{xx} - \sigma_{yy}}{2} \cos 2\alpha + \tau_{xy} \sin 2\alpha \\ \tau(2\alpha) = \square \quad \therefore \frac{\sigma_{xx} - \sigma_{yy}}{2} \sin 2\alpha - \tau_{xy} \cos 2\alpha \end{array} \right.$$

Si sono ottenute le equazioni parametriche di una circonferenza nel piano di Mohr (σ, τ) di centro $C(\sigma_c = \frac{\sigma_{xx} + \sigma_{yy}}{2}, 0)$, raggio $R = \sqrt{\left(\frac{\sigma_{xx} - \sigma_{yy}}{2}\right)^2 + \tau_{xy}^2}$

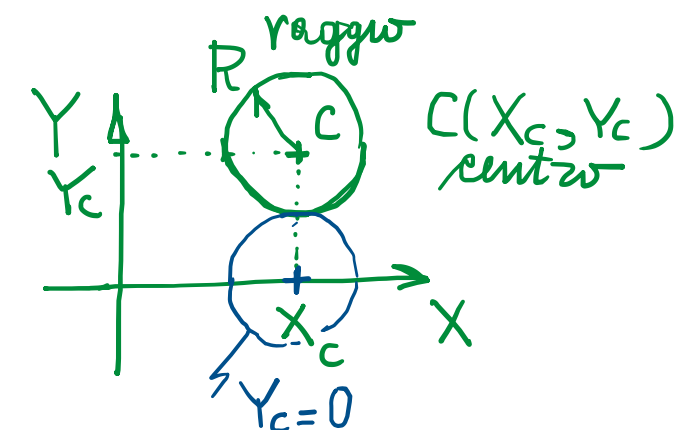
\uparrow piano delle componenti di spazio normale e tangenziale su facce di giacitura \perp

Infatti:

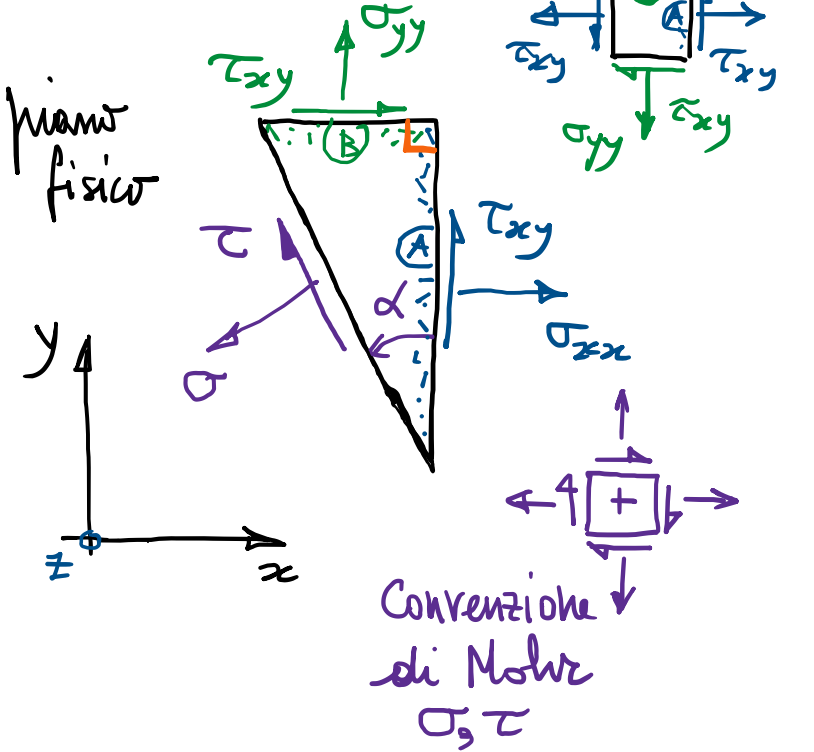
$$\begin{aligned} \left(\sigma - \underbrace{\frac{\sigma_{xx} + \sigma_{yy}}{2}}_{\sigma_c}\right)^2 + \tau^2 &= \left(\frac{\sigma_{xx} - \sigma_{yy}}{2}\right)^2 \overset{1}{\cos^2 2\alpha} + \tau_{xy}^2 \overset{1}{\sin^2 2\alpha} + \frac{\sigma_{xx} - \sigma_{yy}}{2} \tau_{xy} \cancel{\sin 2\alpha \cos 2\alpha} \\ &\quad + \left(\frac{\sigma_{xx} - \sigma_{yy}}{2}\right)^2 \overset{1}{\sin^2 2\alpha} + \tau_{xy}^2 \overset{1}{\cos^2 2\alpha} - \frac{\sigma_{xx} - \sigma_{yy}}{2} \tau_{xy} \cancel{\sin 2\alpha \cos 2\alpha} \\ &= \left(\frac{\sigma_{xx} - \sigma_{yy}}{2}\right)^2 + \tau_{xy}^2 = R^2 \end{aligned}$$

$$\left(\sigma - \sigma_c\right)^2 + \left(\tau - \tau_c\right)^2 = R^2 \iff (X - X_c)^2 + (Y - Y_c)^2 = R^2$$

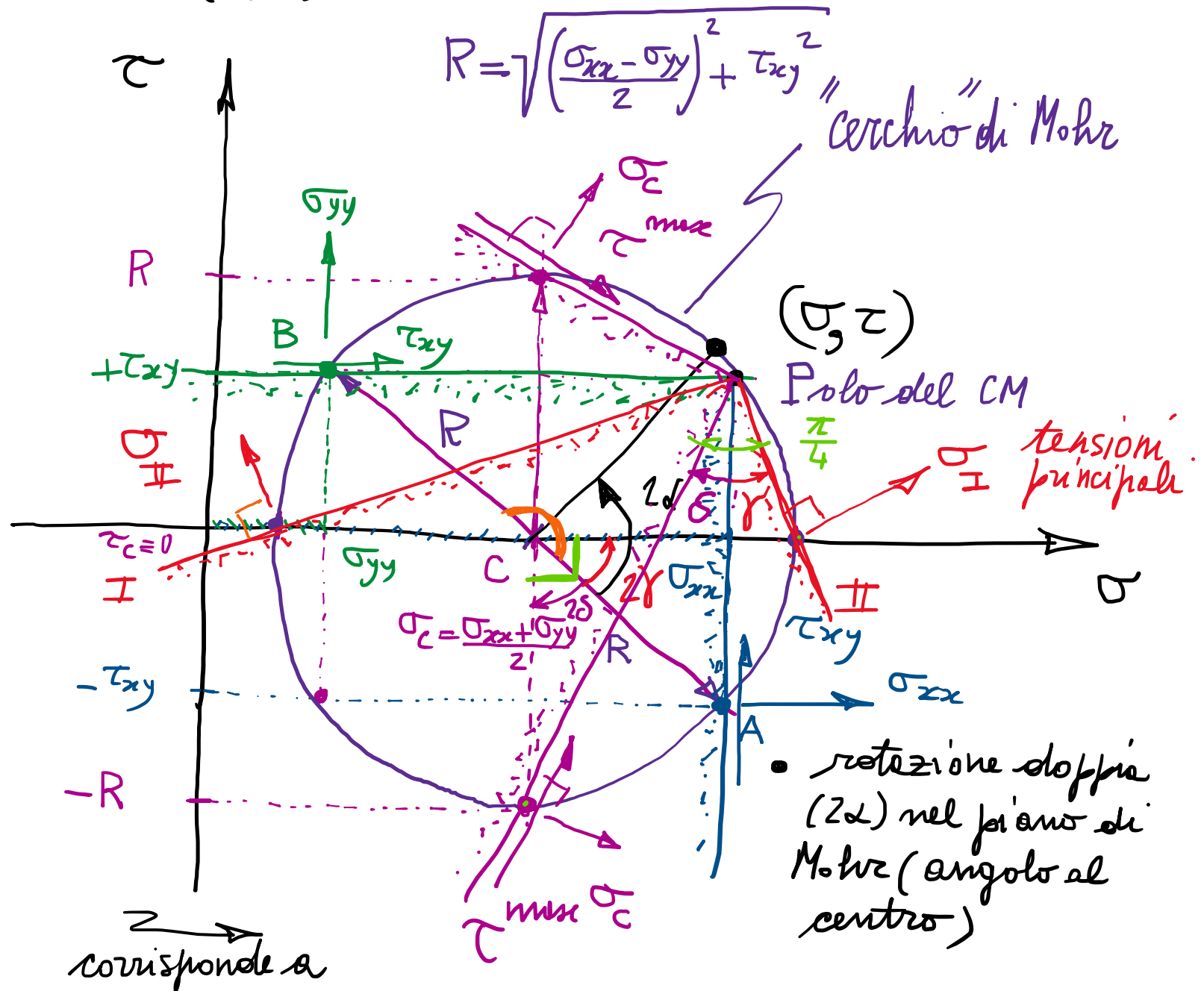
Equazione di circonferenza
nel piano X, Y



Rappresentazione grafica nel piano di Mohr (σ, τ):



- giaciture con rotazione d
nel piano fisico
(nel sovrapporre le facce
verticale e quelle inclinate)



Commenti:

- Rotazioni α nel piano fisico corrispondono a rotazioni doppie (2α) nel piano di Mohr (piano delle componenti σ, τ).
- I punti A e B del Cerchio di Mohr (CM) corrispondenti a componenti σ, τ su facce mutuamente \perp , risultano diametralmente opposti sul CM ($2\alpha = \pi$)
- le tensioni principali nel piano $\sigma_{I,II}$ sono agevolmente individuate dalle intersezioni del CM con l'asse σ ($\tau=0$) e rappresentano i valori max e min dello sforzo normale al variare di tutte le giaciture nel piano:

$$\sigma_{I,II} = \sigma_c \pm R = \frac{\sigma_{xx} + \sigma_{yy}}{2} \pm \sqrt{\left(\frac{\sigma_{xx} - \sigma_{yy}}{2}\right)^2 + \tau_{xy}^2} \quad \leftrightarrow \text{solt. eq. ne caratteristiche} \\ \underline{\sigma_3 = 0} \Rightarrow I_3 = 0$$

- La tensione tangenziale max in valore assoluto è individuata in corrispondenza di σ_c ed è rappresentata dal raggio del CM:

$$\tau^{\max} = R = \sqrt{\left(\frac{\sigma_{xx} - \sigma_{yy}}{2}\right)^2 + \tau_{xy}^2}$$

[N.B. : essa si accompagna a $\sigma = \sigma_c$; punti del CM ($\sigma_c, \pm \tau^{\max}$)]

- Polo del CM, avente le seguenti proprietà: la retta per esso (P) e il generico p. to (σ, τ) del CM rappresenta la giacitura delle facce su cui insistono tali componenti σ, τ
 [possibilità di rappresentare il piano "fisico" sovrapposto al piano di Mohr] \Rightarrow vedi
caratteristiche
costruzione
su CM
- Tramite P sono fettante individuabili specifiche direzioni γ del piano, es.:
 - direzioni principali I, II , inclinate di γ tale che:

$$\tan 2\gamma = \frac{\tau_{xy}}{\frac{\sigma_{xx} - \sigma_{yy}}{2}} = \frac{2\tau_{xy}}{\sigma_{xx} - \sigma_{yy}} \Rightarrow \gamma = \frac{1}{2} \operatorname{atan} \frac{2\tau_{xy}}{\sigma_{xx} - \sigma_{yy}}$$

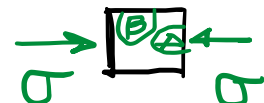
- direzioni secondo cui agisce la τ^{\max} (insieme a σ_c), inclinate di angolo δ tale che:

$$2\delta + 2\gamma = \frac{90^\circ}{2} \Rightarrow \delta + \gamma = \frac{\pi}{4} \xrightarrow{45^\circ} \delta = \frac{\pi}{4} - \gamma$$

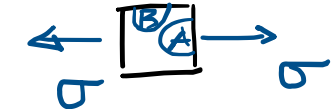
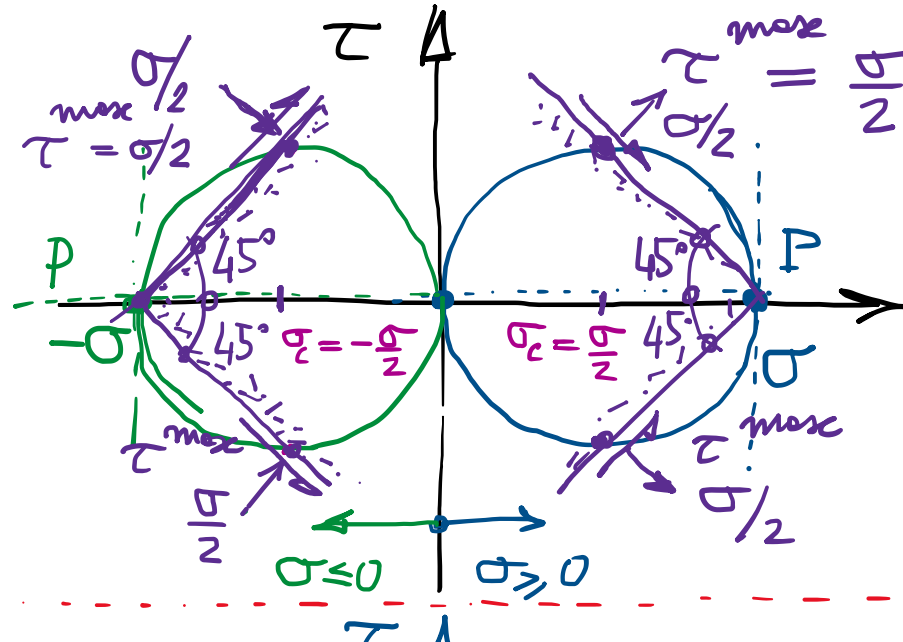
- pertanto, le direzioni secondo cui agisce la τ^{\max} risultano sempre inclinate a 45° rispetto alle direzioni principali.

Esempi tipici:

- Stato di spacco monosassiale di trazione σ e compressione τ

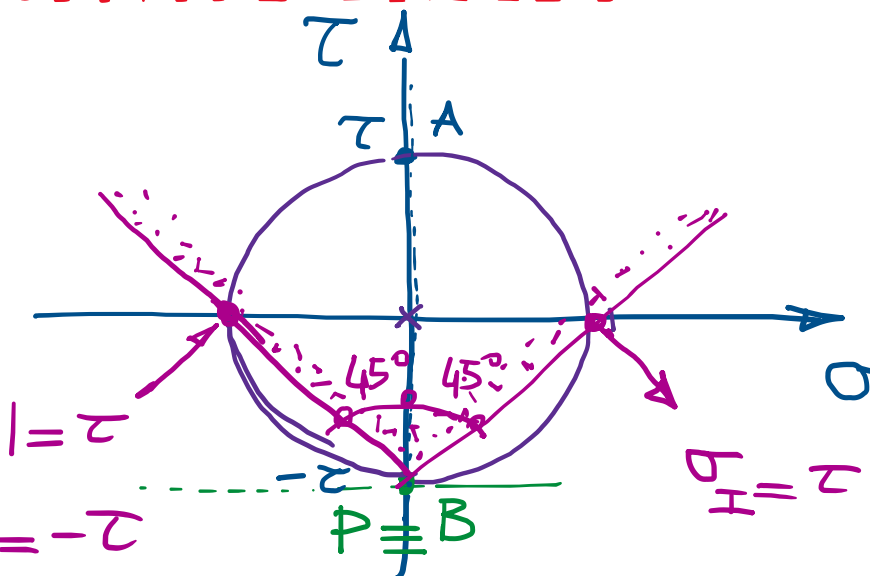
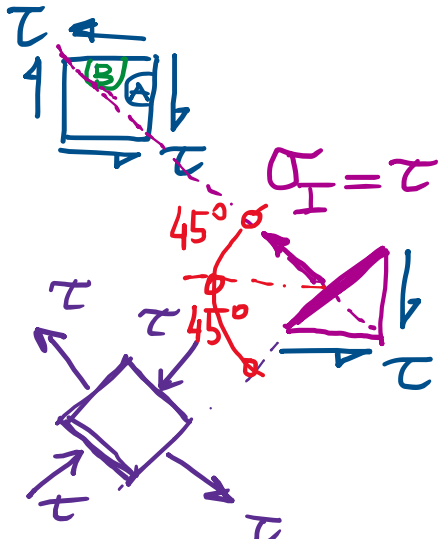


CM tangente all'asse τ , tutto nel semipiano $\sigma \leq 0$



CM tangente all'asse τ , tutto nel semipiano $\sigma \geq 0$

- Stato di spacco di taglio puro



CM centrato sull'origine degli assi del piano di Mohr

tensioni principali uguali e di segno opposto:
 $\sigma_1 = -\sigma_2$ ($\sigma_1 = -\sigma_2$)